

تعیین بازده به مقیاس‌های چپ و راست و امتداد پایداری بازده به مقیاس با استفاده از مدل‌های برنامه‌ریزی خطی براساس تغییرات همزمان شعایی ورودی‌ها و خروجی‌ها

مصطفی امیدی^۱، محسن رستمی مال‌خلیفه^{۱*}، علی پایان^۲، فرهاد حسین‌زاده لطفی^۱

^(۱) گروه ریاضی، دانشکده علوم پایه، دانشگاه آزاد اسلامی، واحد علوم و تحقیقات، تهران، ایران

^(۲) گروه ریاضی، دانشگاه آزاد اسلامی، واحد زاهدان، زاهدان، ایران

تاریخ دریافت مقاله: ۹۵/۱۰/۰۵ | تاریخ پذیرش مقاله: ۹۶/۰۲/۱۸

چکیده

تعیین نوع بازده به مقیاس (RTS) و شناسایی ناحیه‌ای که در آن نوع بازده به مقیاس یک واحد تصمیم‌گیرنده (DMU) پایدار باقی بماند؛ به مدیران کمک می‌کند که پیش‌بینی‌های دقیق‌تری در رابطه با تغییراتی که بر سر راه تغییر سایز یک DMU قرار می‌گیرد، داشته باشند. این مقاله تلاش می‌کند که به معروفی و تعیین امتداد پایداری RTS و ایندهای تصمیم‌گیرنده تحت تحلیل پوششی داده‌ها (DEA)، پردازد. با توجه به اهمیت RTS در رابطه با تصمیم‌گیری‌های مدیریتی، روش‌های مختلف و متنوعی از سوی محققین DEA جهت معروفی و تعیین نوع آن ارائه شده است. پژوهش‌ها در ارزیابی RTS، منجر به دسته‌بندی کلی تر و عمومی‌تری از انواع RTS. با عنوانی «RTS، L-RTS و R-RTS» شده است. وجه مشترک بسیاری از روش‌های ارزیابی L-RTS و R-RTS این است که مدل‌های بکار رفته در این روش‌ها پارامتریک هستند و لذا آنها را بایستی جزء روش‌های غیرخطی دسته‌بندی کرد. به منظور مقایله با این ضعف، مقاله پیش رو به ارائه روشی برای ارزیابی L-RTS و R-RTS می‌پردازد که مدل‌های این روش پیشنهادی خطی بوده و در مورد آنها مشکل پارامتری بودن، وجود ندارد. علاوه بر این مدل‌های روش پیشنهادی از این مزیت برخوردارند که با انجام تغییرات جزئی روی آنها و با تقسیم تصمیم‌گیرنده استفاده کنیم.

واژه‌های کلیدی: تحلیل پوششی داده‌ها (DEA)، بازده به مقیاس چپ (L-RTS)، بازده به مقیاس راست (R-RTS)، بازده به مقیاس کلی (O-RTS)، پایداری.

معروفی و شناسایی L-RTS و R-RTS پایه‌ریزی کردۀ‌اند. در ادامه و به دنبال این تحقیقات، اسلامی و خوئینی (۱۸)، الهیار و رستمی (۲)، و امیدی و همکاران (۱۷) بترتیب با کمک گرفتن از دسته‌های خاصی از مدل‌های مضربی و پوششی DEA، به ارزیابی L-RTS و R-RTS پرداختند. روش گلانی و یو (۱۹۹۷) سعی کردۀ است به کمک مدل‌های خاصی از فرم‌های پوششی نوع R-RTS و L-RTS و ادله را تعیین کند اما DEA، نوع R-RTS و L-RTS واحدها را تعیین کند اما این مدل‌ها در مواردی با مشکل نشدنی بودن روپرتو هستند. این در حالی است که مدل‌های ارائه شده در روش‌های اسلامی و خوئینی (۲۰۱۳)، الهیار و رستمی (۱۴) و امیدی و همکاران (۲۰۱۷) همواره شدنی هستند و ضعف نشدنی بودن مدل‌های روش گلانی و یو L-RTS و R-RTS یک ضعف مشترک وجود دارد و آن پارامتریک بودن مدل‌های بکار رفته در این روش‌هاست. مشخص نبودن محدوده پارامتر بکار رفته در مدل‌های این روش‌ها، کاربران را در استفاده از آنها دچار مشکلات جدی می‌کند. از این‌رو بطرف کردن این مشکل یکی از دغدغه‌های اصلی نویسنده‌گان این مقاله است. بدین منظور در این متن، ما روشی را برای شناسایی L-RTS و R-RTS پیشنهاد می‌کنیم که مدل‌های این روش غیر پارامتریک هستند. علاوه بر این در این مقاله سعی شده است که با ایجاد تغییراتی در مدل‌های آمده در این روش و با کلاس‌بندی مرز مجموعه امکان تولید، تمهدیاتی فراهم شود که با استفاده از آن بتوان به معروفی و تعیین امتداد پایداری انواع O-RTS واحدهای کارای قوی پرداخته شود؛ که این موضوع اخیر، در گستره تحقیقات قبلی مغفول مانده است.

مابقی ساختار این متن به شرح زیر است: در بخش دوم بطور مختصر، برخی از مدل‌های مقدماتی تحلیل پوششی داده‌ها و یکی از روش‌های ارزیابی L-RTS، R-RTS و O-RTS به همراه مفاهیم مرتبط تشریح شده‌اند و به مشکل اصلی مدل‌های این روش و دیگر روش‌های آمده در تاریخچه موضوع، اشاره شده است. برای بطرف کردن آن مشکل، در بخش سوم روش جایگزینی با الهام از برخی از روش‌های قبلی، در قالبی تئوریک پیشنهاد

۱. مقدمه

اولین بار چارنز و همکاران (۱۹۷۸) برای ارزیابی عملکرد مجموعه‌ای از واحدهای تصمیم‌گیرنده (DMUs)، از یک روش غیرپارامتری به نام تحلیل پوششی داده‌ها (DEA) استفاده کردند. مدل پیشنهاد شده توسط آنها به مدل CCR معروف شد. بنکر و همکاران (۱۹۸۴) با ارائه یک ساختار اصل موضوعی، نشان دادند که مدل CCR ارائه شده توسط چارنز و همکاران (۱۹۷۸)، به ارزیابی عملکرد DMU می‌پردازد که در آن پیش‌فرض «بازدۀ به مقیاس (RTS) ثابت» پذیرفته شده است. بنکر و همکاران (۱۹۸۴) پیش‌فرض «RTS ثابت» را از PPS ای که مدل PPS حاصل را در آن پیش‌فرض «BCC» را برای ارزیابی ارائه داده است. آنها PPS حاصل را تحت عنوان مدل BCC را برای ارزیابی مدل دیگری تحت عنوان مدل RTS تئوریک نامیدند و مدلکرد RTS‌ها در این PPS جدید ارائه کردند. این موضوع که تعیین نوع RTS هر DMU یکی از مباحث مهم در تحلیل کارایی است؛ و نیز اهمیت مفهوم RTS در اقتصاد و مدیریت، بنکر (۱۹۸۴) را بر آن داشت که برای اولین بار به تحلیل تئوریک و با استفاده از مدل PPS روشی را برای شناسایی RTS پوششی مطرح کرد. تحقیقات او خیلی زود مورد توجه محققین DEA و پژوهشگران علم اقتصاد و مدیریت قرار گرفت. بعد از آن، روش‌های بسیاری برای شناسایی RTS از سوی کاوشگران ارائه شد که از آن جمله می‌توان به روش‌های بنکر و ترال (۱۹۹۲)، فار و گرسکوف (۱۹۹۴)، بنکر و همکاران (۱۹۹۶)، تن (۲۰۰۴)، ژو و شن (۱۹۹۵)، سیفورد و ژو (۱۹۹۹) و ځایخشی و همکاران (۲۰۱۰) اشاره کرد. به موازات و در تکمیل این پژوهش‌ها، مفاهیم دیگری به نام RTS چپ (L-RTS) و RTS راست (R-RTS) اولین بار توسط گلانی و یو (۱۹۹۷) مطرح شدند. آنها طبقه‌بندی «ثابت، افزایشی و کاهشی» را برای L-RTS (و به همین ترتیب برای R-RTS) بیان کردند. از آنجاییکه مطالعه L-RTS و R-RTS حاوی اطلاعات دقیق‌تر و کامل‌تری نسبت به مطالعه O-RTS است؛ هدجی کاستاس و سوتريو (۲۰۰۶) مبانی تئوریکی را برای

برای ارزیابی عملکرد واحدها ارائه شده است.

مدل (۱)

$$\begin{aligned} & \max_{\lambda, s^- + s^+} \\ & \text{s.t.} \\ & \sum_{j=1}^n \lambda_j x_j + s^- = x_k \\ & \sum_{j=1}^n \lambda_j y_j - s^+ = y_k \\ & \sum_{j=1}^n \lambda_j = 1 \\ & (\lambda, s^-, s^+) \geq 0 \end{aligned}$$

با اینکه مدل (۱) قادر به محاسبه کارایی واحدها نیست؛ اما به راحتی می‌توان با استفاده از تعریف (۱) زیر، این مدل را برای تدقیک واحدهای کارا و ناکارا از یکدیگر بکار گرفت.

تعریف ۱. فرض کنید $DMU_k \in T_v$ در اینصورت:

-۱ در T_v کارای قوی است اگر مقدار بهین مدل (۱) برابر با صفر باشد.

-۲ در T_v ناکارا است اگر مقدار بهین مدل (۱) بزرگتر از صفر باشد.

در DEA از مدل‌های گوناگونی برای تصویر کردن یک نقطه بر مرز کارای قوی مجموعه امکان تولید می‌توان استفاده کرد. ما در بخش (۳) مقاله پیش‌رو، از مدل زیر برای تصویر کردن یک نقطه بر مرز کارای قوی استفاده می‌کنیم.

مدل (۲)

$$\begin{aligned} & \min \theta - \varepsilon (1.s^- + 1.s^+) \\ & \text{s.t.} \\ & \sum_{j=1}^n \lambda_j x_j + s^- = \theta x_k \\ & \sum_{j=1}^n \lambda_j y_j - s^+ = y_k \\ & \sum_{j=1}^n \lambda_j = 1 \\ & (\lambda, s^-, s^+) \geq 0 \end{aligned}$$

شده است. سپس با انجام تغییراتی در مدل‌های پیشنهادی، در بخش چهارم امتداد پایداری O-RTS را معرفی کرده و روشی برای شناسایی و تعیین آن ارائه شده است. همچنین در بخش چهارم، روش‌های پیشنهادشده این بخش، روی دو مثال عددی اجرا شده‌اند. در بخش پنجم به جمع‌بندی نتایج و پیشنهاد زمینه‌های ممکن برای توسعه‌ی این تحقیق پرداخته شده است.

۲. مفاهیم اولیه

این بخش به فراهم آوردن مقدمات لازم برای بخش‌های بعدی می‌پردازد. مفاهیم بازده‌بمقیاس چپ (L-RTS)، بازده‌بمقیاس راست (R-RTS) و بازده‌بمقیاس کلی (O-RTS)، در این بخش تشریح می‌شوند و ضمن ارائه یکی از روش‌های ارزیابی آنها، به وجود یک ضعف اصلی در این روش و روش‌های دیگر اشاره می‌شود و چاره‌اندیشی در مورد این مشکل به بخش بعدی واکگار می‌گردد.

مجموعه‌ی n واحد تصمیم‌گیرنده‌ی $\{DMU_j | j = 1, \dots, n\}$ را در نظر بگیرید، بطوریکه برای واحد j ام ($j = 1, \dots, n$)، بردار m مولفه‌ای $x_j > 0$ که $x_j \neq 0$ بردار s مولفه‌ای $y_j > 0$ که $y_j \neq 0$ را تولید می‌کند. مجموعه امکان تولید تحت بازده به مقیاس متغیر با استفاده از این n واحد تصمیم‌گیرنده به صورت زیر تعریف می‌شود:

$$T_v = \left\{ \begin{array}{l} (x, y) | x \geq \sum_{j=1}^n \lambda_j x_j, \\ y \leq \sum_{j=1}^n \lambda_j y_j, \\ \sum_{j=1}^n \lambda_j = 1, \\ \lambda_j \geq 0, j = 1, \dots, n \end{array} \right\}$$

۲-۱. نکاتی در مورد دو مدل پایه‌ای DEA

با فرض بازده به مقیاس متغیر، مدل (۱) زیر که به مدل جمعی معروف است توسط چارنз و همکاران (۱۹۸۵)

افزایش متغیرهای مستقل بر متغیرهای وابسته را ارزیابی بازده به مقیاس راست (R-RTS) و برسی تاثیر کاهش متغیرهای مستقل بر متغیرهای وابسته را ارزیابی بازده به مقیاس چپ (L-RTS) می‌گویند. بر اساس مفاهیم اقتصادی ممکن است یکی از سه حالت زیر در هریک از ارزیابی‌های R-RTS و L-RTS اتفاق بیفتد:

۱- افزایش (کاهش) متغیرهای مستقل سودمند باشد که در این حالت گفته می‌شود R-RTS (L-RTS) افزایشی است.

۲- افزایش (کاهش) متغیرهای مستقل مضر باشد که در این حالت گفته می‌شود R-RTS (L-RTS) کاهشی است.

۳- افزایش (کاهش) متغیرهای مستقل تاثیری بر خروجی نداشته باشد که در این حالت گفته می‌شود L-RTS (R-RTS) ثابت است.

از آنجائیکه ارزیابی L-RTS و R-RTS در برگیرنده اطلاعات ارزیابی O-RTS بوده و کامل‌تر از آن است، بخصوص در مورد واحدهایی که نوع O-RTS آنها ثابت است؛ بنابراین یکی از ضرورت‌های مورد تأکید این متن مبنا قرار دادن مطالعه نوع L-RTS و R-RTS به جای مطالعه نوع O-RTS است. به همین منظور پیشنهاد می‌شود که در اولویت اول، به شناسایی نوع L-RTS و R-RTS پرداخته شود و سپس به کمک آنها نوع O-RTS را نیز مشخص کرد.

در متون DEA یکی از تعاریف L-RTS و R-RTS تعریفی است که توسط هدجی کاستاس و سوتربیو (۲۰۰۶) ارائه شده است. مطالبی که در ادامه ارائه می‌شود برای تهییه مقدمات لازم، جهت بیان این تعریف می‌باشد. فرض کنید $DMU_k \in \partial T_v$ و ξ یک اسکالار باشد که در شرط $0 \leq \xi \leq 1$ صدق می‌کند و قرار دهید:

$$\alpha(\xi) = \max \{ \alpha | (\xi x_k, \alpha y_k) \in T_v \},$$

$$\gamma^- = \lim_{\xi \rightarrow 1^-} \frac{\alpha(\xi) - 1}{\xi - 1},$$

$$\gamma^+ = \lim_{\xi \rightarrow 1^+} \frac{\alpha(\xi) - 1}{\xi - 1}$$

تعریف زیر از بازده به مقیاس چپ و راست، همان قسمت‌های (a) و (b) تعریف (۲-۶) آمده در هدجی

این مدل همان مدل BCC در ماهیت ورودی است. رجوع کنید به صفحه ۱۰۵ کتاب جهانشاهلو و همکاران (۱۳۸۷).

قضیه ۱. اگر (ξ^*, s^*, θ^*) جواب بهینه مدل (۲) باشد، آنگاه $(\theta^* x_k - s^*, y_k + s^*)$ نقطه‌ای روی مرز کارایی قوى T_v است.

اثبات: رجوع کنید به صفحه ۱۰۸ کتاب جهانشاهلو و همکاران (۱۳۸۷).

توجه کنید که نقطه $(\theta^* x_k - s^*, y_k + s^*)$ را یک نقطه تصویر برای DMU_k بر مرز کارایی قوى T_v می‌گویند.

۲-۲. بازده به مقیاس چپ و راست

فعالیت‌های علمی زیادی برای ارزیابی بازده به مقیاس واحدها (O-RTS)، از جمله واحدهای صنعتی و تولیدی صورت گرفته است. تحلیل پوششی داده‌ها به عنوان یکی از شناخته شده‌ترین و کاربردی‌ترین روش‌ها در بین روش‌های ارزیابی بازده به مقیاس در دنیای واقعی، همواره مورد توجه مدیران بوده است. بازده به مقیاس در اصل یک مفهوم اقتصادی است که برسی کننده تاثیر تغییر متغیرهای مستقل اقتصادی بر متغیرهای وابسته آن است. جامعه‌ای را در نظر بگیرید که در آن رشد اقتصادی حاکم باشد یعنی درآمدزایی وجود داشته باشد؛ و فرض کنید در برسی یک مساله اقتصادی در چنین جامعه‌ای، می‌خواهیم بدانیم که، تاثیر افزایش سرمایه‌گذاری بر سود حاصل چیست؟ واضح است که اگر این سرمایه‌گذاری منجر به افزایش سود بیشتر شود، ریسک این سرمایه‌گذاری را می‌پذیریم و در غیر اینصورت انجام این سرمایه‌گذاری را منطقی نمی‌دانیم. حالا اینبار حالتی بر عکس حالت بالا را در نظر بگیرید؛ مثلاً فرض کنید که با یک کارخانه در حال ورشکستگی روبرو هستیم و می‌خواهیم بدانیم تاثیر برکنار کردن عده‌ای از پرسنل و خطهای تولید این کارخانه بر کم کردن ضررهای کارخانه چیست؟ در واقع در هر دو مساله بالا می‌خواهیم تاثیر تغییر متغیرهای مستقل را بر متغیرهای وابسته برسی کنیم، و اگر این تغییر صرفه اقتصادی داشته باشد؛ ریسک این تغییر منطقی است و آن را می‌پذیریم. برسی تاثیر

بر پایه تعریف (۳)، مدل‌ها و قضیه‌های زیر برای شناسایی واحدهای مرزی و تعیین L-RTS و R-RTS آنها بکار گرفته شده‌اند.

مدل (۳)

$$\begin{aligned} \theta^* &= \min \theta \\ \text{s.t.} \\ \sum_{j=1}^n \mu_j x_j &\leq \theta x_k \\ \sum_{j=1}^n \mu_j y_j &\geq y_k \\ \sum_{j=1}^n \mu_j &\geq 1 + \varepsilon \\ \mu &\geq 0 \end{aligned}$$

مدل (۴)

$$\begin{aligned} \varphi^* &= \max \varphi \\ \text{s.t.} \\ \sum_{j=1}^n \lambda_j x_j &\leq x_k \\ \sum_{j=1}^n \lambda_j y_j &\geq \varphi y_k \\ \sum_{j=1}^n \lambda_j &\leq 1 - \varepsilon \\ \lambda &\geq 0 \end{aligned}$$

قضیه ۲. اگر $(\varphi^*, \xi^*, \lambda^*)$ و $DMU_k \in T_v$ و $(\theta^*, \eta^*, \mu^*)$ بترتیب جواب‌های بهینه‌ی مدل‌های (۳) باشند، آنگاه $DMU_k \in IntT_v$ اگر و تنها اگر $\theta^* < 1$ و $\varphi^* > 1$.

قضیه ۳. اگر $(\theta^*, \eta^*, \mu^*)$ و $DMU_k \in \partial T_v$ بترتیب جواب‌های بهینه‌ی مدل‌های (۳) باشند، آنگاه:

- ۱ اگر $\theta^* > 1$ آنگاه L-RTS افزایشی است.
- ۲ اگر $\theta^* < 1$ آنگاه L-RTS کاہشی است.
- ۳ اگر $\theta^* = 1$ آنگاه L-RTS ثابت است.
- ۴ اگر $\varphi^* > 1$ آنگاه R-RTS افزایشی است.

کاستاس و سوتربیو (۲۰۰۶) است.

تعریف ۲. اگر $DMU_k \in \partial T_v$ آنگاه در مورد L-RTS و R-RTS مربوط به DMU_k داریم:

-۱ اگر $\gamma^+ > 1$ آنگاه R-RTS افزایشی است.

-۲ اگر $\gamma^+ < 1$ آنگاه R-RTS کاہشی است.

-۳ اگر $\gamma^+ = 1$ آنگاه R-RTS ثابت است.

-۴ اگر $\gamma^- > 1$ یا γ^- موجود نباشد آنگاه L-RTS افزایشی است.

-۵ اگر $\gamma^- < 1$ آنگاه L-RTS کاہشی است.

-۶ اگر $\gamma^- = 1$ آنگاه L-RTS ثابت است.

به منظور عملیاتی کردن تعریف (۲)، امیدی و همکاران (۲۰۱۷) تعریف (۳) زیر را برای RTS چپ و راست ارائه کردند و نشان دادند که که این تعریف با تعریف (۲) معادل است.

تعریف ۳. اگر $DMU_k \in \partial T_v$ آنگاه:

-۱ افزایشی است اگر اسکالر $\Delta > 1$ موجود باشد که

$\forall \beta (\beta \in (1, \Delta] \Rightarrow (\beta x_k, \beta y_k) \in IntT_v)$

-۲ کاہشی است اگر اسکالر $\Delta < 1$ موجود باشد که

$\forall \beta (\beta \in (1, \Delta] \Rightarrow (\beta x_k, \beta y_k) \notin T_v)$

-۳ ثابت است اگر اسکالر $\Delta < 1$ موجود باشد که

$\forall \beta (\beta \in (1, \Delta] \Rightarrow (\beta x_k, \beta y_k) \in \partial T_v)$

-۴ افزایشی است اگر اسکالر $0 < \Delta < 1$ موجود باشد که

$\forall \beta (\beta \in [\Delta, 1) \Rightarrow (\beta x_k, \beta y_k) \notin T_v)$

-۵ کاہشی است اگر اسکالر $0 < \Delta < 1$ موجود باشد که

$\forall \beta (\beta \in [\Delta, 1) \Rightarrow (\beta x_k, \beta y_k) \in IntT_v)$

-۶ ثابت است اگر اسکالر $0 < \Delta < 1$ موجود باشد که

$\forall \beta (\beta \in [\Delta, 1) \Rightarrow (\beta x_k, \beta y_k) \in \partial T_v)$

همچنین، امیدی و همکاران (۲۰۱۷) نشان دادند که همبستگی تئوریک بین O-RTS و L&R-RTS (L&R) است. این امکان را فراهم می‌آورد که بتوان به کمک تعیین L-RTS و RTS به طبقهبندی O-RTS واحدهای مرزی پرداخت. آنها نتایج حاصل از ارتباط بین (L&R)-RTS با O-RTS را در جدول زیر بصورت خلاصه بیان کردند.

۵- اگر $\varphi^* > 1$ آنگاه R-RTS کاہشی است.

۶- اگر $\varphi^* = 1$ آنگاه R-RTS ثابت است.

۷- هیچ یک از حالت‌های $(\varphi^* < 1, \theta^* > 1)$ ، $(\varphi^* = 1, \theta^* < 1)$ و $(\varphi^* > 1, \theta^* = 1)$ اتفاق نمی‌افتد. برای اثبات قضیه‌های (۲) و (۳) رجوع کنید به امیدی و همکاران (۲۰۱۷).

جدول ۱- همه حالت‌های ممکن برای تعیین O-RTS به کمک L-RTS و RTS

case	L-RTS	R-RTS	\Rightarrow	O-RTS
1	IRTS	IRTS		IRTS
2	IRTS	DRTS		CRTS
3	IRTS	CRTS		CRTS
4	DRTS	IRTS		-
5	DRTS	DRTS		DRTS
6	DTRS	CRTS		-
7	CRTS	IRTS		-
8	CRTS	DRTS		CRTS
9	CRTS	CRTS		CRTS

خوئینی (۲۰۱۳) و الهیار و رستمی (۲۰۱۴) از جمله دیگر روش‌های ارزیابی L-RTS و R-RTS هستند که مدل‌های مورد استفاده آنها پارامتری می‌باشند. به منظور برطرف کردن این ضعف همه‌گیر، در بخش بعدی به ارائه روشی برای ارزیابی L-RTS و R-RTS می‌پردازیم که مدل‌های این روش خطی بوده و مشکل پارامتری بودن دیگر روش‌ها را ندارند.

۳. تعیین L-RTS و R-RTS به کمک مدل‌های غیر پارامتریک

در این بخش ابتدا روش خدابخشی و همکاران (۲۰۱۰)، برای تعیین نوع O-RTS ارائه می‌شود. سپس با الهام از این روش و به کمک تعریف (۳)، یک روش جایگزین برای تعیین نوع L-RTS، R-RTS و O-RTS واحدهای کارای قوی T_v ارائه می‌شود که مدل‌های این روش پیشنهادی برخلاف روش‌های پارامتریک گلانی و یو (۱۹۹۷)، اسلامی و خوئینی (۲۰۱۳)، الهیار و رستمی (۲۰۱۴) و امیدی و همکاران (۲۰۱۷)، غیر پارامتریک

در جدول (۱) همه حالت‌های ممکن برای L-RTS و R-RTS آمده‌است. بنابراین از جدول (۱) نتایج زیر بوضوح حاصل می‌شوند:

نتیجه ۱. اگر برای $DMU_k \in \partial T_v$ نوع R-RTS مشخص باشد آنگاه می‌توان نوع O-RTS آنرا مشخص کرد.

نتیجه ۲. اگر برای $DMU_k \in \partial T_v$ ، نوع R-RTS افزایشی باشد آنگاه نوع L-RTS نیز افزایشی بوده و لذا نوع O-RTS افزایشی است.

نتیجه ۳. اگر برای $DMU_k \in \partial T_v$ ، نوع L-RTS کاہشی باشد آنگاه نوع R-RTS نیز کاہشی بوده و لذا نوع O-RTS کاہشی است.

همانطور که می‌بینید؛ مدل‌های (۳) و (۴) آمده در بالا وابسته به پارامتر v هستند. بنابراین روش امیدی و همکاران (۲۰۱۷) از مشکل پارامتری بودن مدل‌هایش در رنج است. البته این ضعف پارامتری بودن مدل‌ها، وجه مشترک بسیاری از روش‌های ارزیابی L-RTS و RTS می‌باشد. روش‌های گلانی و یو (۱۹۹۷)، اسلامی و

هستند.

$$\begin{array}{l} \text{مدل (۶)} \\ \hline \max 1.s^- + 1.s^+ + \varepsilon\xi \\ \text{s.t.} \\ \sum_{j=1}^n \lambda_j x_j + s^- = \xi x_k \\ \sum_{j=1}^n \lambda_j y_j - s^+ = \xi y_k \\ \sum_{j=1}^n \lambda_j = 1 \\ (\lambda, s^-, s^+) \geq 0 \end{array}$$

$$\begin{array}{l} \text{مدل (۷)} \\ \hline \max 1.s^- + 1.s^+ - \varepsilon\xi \\ \text{s.t.} \\ \sum_{j=1}^n \lambda_j x_j + s^- = \xi x_k \\ \sum_{j=1}^n \lambda_j y_j - s^+ = \xi y_k \\ \sum_{j=1}^n \lambda_j = 1 \\ (\lambda, s^-, s^+) \geq 0 \end{array}$$

که در آنها ε یک عدد غیر ارشمیدسی است.
از قضیه‌های (۵) و (۶) آمده در زیر برای شناسایی نوع
L-RTS و R-RTS واحدهای کارای قوی T_v استفاده
می‌کنیم.

قضیه ۵. فرض کنید $DMU_k \in \partial T_v$ و
 $(\lambda^*, s^-, s^+, s^{++})$ جواب بهینه‌ی برای مدل (۶) باشد،
در اینصورت:

- ۱ اگر $1.s^- + 1.s^+ \neq 0$ آنگاه:
- ۱-۱ R-RTS افزایشی است اگر و تنها اگر $1 > \xi^*$
- ۱-۲ L-RTS کاهشی است اگر و تنها اگر $1 < \xi^*$
آنگاه: $1.s^- + 1.s^+ = 0$
- ۲ R-RTS ثابت است اگر و تنها اگر $1 > \xi^*$
- ۲-۲ R-RTS کاهشی است اگر و تنها اگر $1 = \xi^*$

۳-۱. روش خدابخشی و همکاران برای تعیین نوع O-RTS

خدابخشی و همکاران (۲۰۱۰) با استفاده از مجموع اسلک‌ها به برآورد O-RTS واحدهای کارای قوی T_v پرداخته‌اند. قضیه زیر بیانگر این روش است.

قضیه ۴. فرض کنید DMU_k در T_v کارای قوی باشد و $(\xi^*, \lambda^*, s^-, s^+, s^{++})$ جواب بهینه‌ی مدل (۶) زیر باشد:

$$\begin{array}{l} \text{مدل (۸)} \\ \hline \max 1.s^- + 1.s^+ \\ \text{s.t.} \\ \sum_{j=1}^n \lambda_j x_j + s^- = \xi x_k \\ \sum_{j=1}^n \lambda_j y_j - s^+ = \xi y_k \\ \sum_{j=1}^n \lambda_j = 1 \\ (\lambda, s^-, s^+) \geq 0 \end{array}$$

در اینصورت برای تعیین نوع بازده به مقیاس کلی DMU_k داریم:

۱-۱ O-RTS افزایشی است اگر و تنها اگر $1.s^- + 1.s^+ \neq 0$ و $\xi^* > 1$.

۲-۲ O-RTS کاهشی است اگر و تنها اگر $1.s^- + 1.s^+ \neq 0$ و $\xi^* < 1$.

۳-۳ O-RTS ثابت است اگر و تنها اگر $1.s^- + 1.s^+ = 0$.

اثبات: مراجعه کنید به خدابخشی و همکاران (۲۰۱۰).

۳-۲. روش پیشنهادی برای تعیین L-RTS و R-RTS

حالا فرض کنید DMU_k در T_v کارای قوی باشد و مدل‌های دو فازی پیشنهادی (۶) و (۷) زیر را در نظر بگیرید:

است و چون $(x_k, y_k) \in \partial T_v$ و ∂T_v مقرر است پس فرض $>^*$ به همراه قیود مدل (۴) ایجاب می‌کند که: $\forall \xi (\xi \in (1, \xi^*) \Rightarrow (\xi x_k, \xi y_k) \in \partial T_v)$.

بنابراین طبق بند (۳) تعریف (۳) نتیجه می‌گیریم که R-RTS ثابت است و این اثبات قسمت (۲-۱) را کامل می‌کند.

اثبات (۲-۲): فرض کنید $= 0$ و قرار $1.s^{-*} + 1.s^{+*} = 0$ دهد. $\lambda = \lambda^*, \tilde{s}^- = s^{-*}, \tilde{s}^+ = s^{+*}$. $\tilde{\lambda} = \lambda$ چون $(\tilde{\lambda}, \tilde{s}^-, \tilde{s}^+, \tilde{y})$ در قیود مدل (۶) صدق می‌کند پس یک جواب شدنی مدل (۶) است. و چونتابع هدف مدل (۶) از نوع ماکریم‌سازی است پس یکی از دو حالت $= 1$ یا $>^*$ رخ می‌دهد. حالا فرض کنید R-RTS کاهشی باشد. اگر $>^*$ آنگاه طبق بند (۱-۲) همین قضیه، نوع R-RTS ثابت است که این یک تناقض است. پس فرض خلف باطل است لذا داریم: $= 1$. بر عکس، فرض کنید $= 1$ پس اگر $(\tilde{\lambda}, \tilde{s}^-, \tilde{s}^+, \tilde{y})$ یک جواب شدنی مدل (۶) باشد در اینصورت داریم: $\neq \tilde{y}$. بنابراین اگر \neq عددی دلخواه و نزدیک به عدد یک باشد که $>^*$ آنگاه $(\tilde{\lambda}, \tilde{s}^-, \tilde{s}^+, \tilde{y}) \notin T_v$ و لذا با توجه به بند (۲) تعریف (۳) نتیجه می‌شود که R-RTS کاهشی است و این اثبات قسمت (۲-۲) را کامل می‌کند.

بعد از حل مدل (۶)، اگر شرط $1.s^{-*} + 1.s^{+*} \neq 0$ برقرار باشد آنگاه ضرورتا نامساوی \neq برقرار است زیرا در غیر اینصورت داریم $(x_k, y_k) = (\tilde{x}_k, \tilde{y}_k)$. و این به همراه نامساوی $1.s^{-*} + 1.s^{+*} \neq 0$ نتیجه می‌دهد که: « (x_k, y_k) ناکارا است» و این با فرض « (x_k, y_k) کارای قوی است» در تناقض است.

بعد از حل مدل (۶)، طبق بند (۱-۱) قضیه (۵) دیدیم که اگر شرایط $0 \neq 1.s^{-*} + 1.s^{+*}$ و $>^*$ برقرار باشد آنگاه R-RTS افزایشی است. در چنین حالتی نتیجه (۲) آمده در زیر بخش (۲-۲) این مقاله، ایجاب می‌کند که R-RTS نیز افزایشی باشد. بطور مشابه طبق بند (۱-۱) قضیه (۵) دیدیم که اگر شرایط $0 \neq 1.s^{-*} + 1.s^{+*}$ و $<^*$ برقرار باشد آنگاه R-RTS کاهشی است و در چنین حالتی نتیجه (۲) آمده در زیر بخش (۲-۲) این

اثبات (۱-۱): اگر R-RTS افزایشی باشد آنگاه طبق بند (۱) تعریف (۳)، عددی مانند $>^*$ وجود دارد بطوریکه:

$$\forall \xi (\xi \in (1, \Delta] \Rightarrow (\xi x_k, \xi y_k) \in \text{Int } T_v).$$

فرض کنید $\bar{\xi}$ عددی دلخواه و نزدیک به عدد یک باشد که $>^*$ پس $\bar{\xi} \in (1, \Delta]$ لذا $(\bar{\xi} x_k, \bar{\xi} y_k) \in \text{Int } T_v$. یعنی $(\bar{\xi} x_k, \bar{\xi} y_k)$ در T_v ناکارا است. این ناکارایی ایجاب می‌کند که مقدار بهینه تابع هدف مدل (۱) متناظر با $(\bar{\xi} x_k, \bar{\xi} y_k)$ مخالف صفر باشد پس برای فاز اول مدل (۶) داریم: $1.s^{-*} + 1.s^{+*} \neq 0$. چون مدل (۶) از نوع ماکریم‌سازی است و $>^*$ پس برای فاز دوم مدل (۶) داریم: $>^*$. بر عکس، فرض کنید $1.s^{-*} + 1.s^{+*} \neq 0$ و $>^*$. چون $0 \neq 1.s^{-*} + 1.s^{+*}$ پس در T_v ناکارا است و چون $(x_k, y_k) \in \partial T_v$ و ∂T_v مقرر است پس فرض $>^*$ به همراه قیود مدل (۶) ایجاب می‌کند که:

$$\forall \xi (\xi \in (1, \xi^*) \Rightarrow (\xi x_k, \xi y_k) \in \text{Int } T_v).$$

بنابراین طبق بند (۱) تعریف (۳) نتیجه می‌گیریم که R-RTS افزایشی است و این اثبات قسمت (۱-۱) را کامل می‌کند.

اثبات (۲-۱): مشابه اثبات قسمت (۱-۱) است.

اثبات (۱-۲): اگر R-RTS ثابت باشد آنگاه طبق بند (۳) تعریف (۳)، عددی مانند $>^*$ وجود دارد بطوریکه:

$$\forall \xi (\xi \in (1, \Delta] \Rightarrow (\xi x_k, \xi y_k) \in \partial T_v).$$

فرض کنید $\bar{\xi}$ عددی دلخواه و نزدیک به عدد یک باشد که $>^*$ پس $\bar{\xi} \in (1, \Delta]$ لذا $(\bar{\xi} x_k, \bar{\xi} y_k) \in \partial T_v$. ادعا می‌کنیم که مقدار بهینه تابع هدف مدل (۱) متناظر با $(\bar{\xi} y_k, \bar{\xi} x_k)$ برابر صفر است زیرا در غیر اینصورت طبق بند (۱-۱) همین قضیه R-RTS افزایشی است که این یک تناقض است. پس فرض خلف باطل است یعنی برای فاز اول مدل (۶) داریم $>^*$. بر عکس، فرض کنید $1.s^{-*} + 1.s^{+*} = 0$ و $>^*$. چون $(\bar{\xi} y_k, \bar{\xi} x_k) \in \partial T_v$ در کارا

است پس فرض $1 < \bar{\zeta}$ به همراه قیود مدل (۷) ایجاب می‌کند که

$$\forall \zeta (\zeta \in [\bar{\zeta}, 1] \Rightarrow (\zeta x_k, \zeta y_k) \in \partial T_v).$$

بنابراین طبق بند (۶) تعریف (۳) نتیجه می‌گیریم که L-RTS ثابت است و این اثبات قسمت (۱) را کامل می‌کند. برای اثبات قسمت (۲)، فرض کنید L-RTS افزایشی باشد. اگر $1 < \bar{\zeta} < \bar{\zeta}_1$ آنگاه طبق قسمت (۱) همین قضیه، L-RTS ثابت است که این یک تناقض است. بنابراین فرض خلف باطل است و لذا $\bar{\zeta} = 1$. بر عکس فرض کنید $\bar{\zeta} = 1 < \bar{\zeta}_1$ ، پس اگر $(\tilde{\zeta}^+, \tilde{s}^-, \tilde{a})$ یک جواب شدنی مدل (۷) باشد در اینصورت داریم $1 < \bar{\zeta}$. بنابراین اگر $\bar{\zeta}$ عددی دلخواه و نزدیک به عدد یک باشد که $\bar{\zeta} < 1 < \bar{\zeta}_1$ آنگاه لذا $(\tilde{\zeta}^+, \tilde{s}^-, \tilde{a}) \notin T_v$. لذا با توجه به بند (۴) تعریف (۳) نتیجه می‌گیریم که L-RTS افزایشی است و این اثبات قسمت (۲) را کامل می‌کند.

۳-۳. الگوریتم روش پیشنهادی برای شناسایی نوع O-RTS، L-RTS و R-RTS

فرض کنید DMU_k در T_v کارای قوی باشد برای شناسایی نوع O-RTS، L-RTS و R-RTS مراحل زیر را انجام دهید:

۱- مدل (۶) را حل کنید.

۲- اگر در مدل (۶) داشته باشیم $0 < \bar{\zeta} < 1$ آنگاه به کمک بند (۱) قضیه (۵) نوع R-RTS و L-RTS را مشخص کنید و به مرحله (۶) این الگوریتم برویم.

۳- اگر در مدل (۶) داشته باشیم $\bar{\zeta} = 0$ آنگاه به کمک بند (۲) قضیه (۵) نوع R-RTS را مشخص کنید.

۴- مدل (۷) را حل کنید.

۵- به کمک بندهای (۱) و (۲) قضیه (۶) نوع L-RTS را مشخص کنید.

۶- به کمک نوع L-RTS و R-RTS و با استفاده از جدول (۱)، در مورد نوع O-RTS قضاؤت کنید.

در بخش بعدی به کمک چهار مدل خطی پیشنهادی DEA، امتداد پایداری O-RTS بررسی شده و روشنی

مقاله، ایجاد می‌کند که R-RTS نیز کاهشی باشد.

بعد از حل مدل (۶)، با توجه به احکام آمده در قضیه (۵) دیده می‌شود که اگر شرط $0 < \bar{\zeta} < 1$ برقرار باشد آنگاه هم نوع L-RTS و هم نوع R-RTS مشخص می‌شود. اما اگر شرط $\bar{\zeta} = 0$ برقرار باشد آنگاه فقط نوع R-RTS مشخص می‌شود و برای تعیین نوع L-RTS بایستی مدل (۷) را حل کنیم و به کمک احکام آمده در قضیه (۶) زیر در مورد نوع L-RTS قضاؤت کنیم.

قضیه ۶ فرض کنید $DMU_k \in \partial T_v$ و $(\bar{\zeta}^*, s^{+*}, s^{-*}, \lambda^*)$ جواب بهینه‌ای برای مدل (۷) باشد که در مورد آن داشته باشیم $0 < \bar{\zeta} < 1$ در اینصورت:

-۱ L-RTS ثابت است اگر و تنها اگر $1 < \bar{\zeta}$

-۲ L-RTS افزایشی است اگر و تنها اگر $1 < \bar{\zeta}$

اثبات: با توجه به اینکه $0 < \bar{\zeta} < 1$ قرار دهید $(\tilde{\zeta}, \tilde{s}^-, \tilde{s}^+) = (\bar{\zeta}^*, s^{+*}, s^{-*})$.

در قیود مدل (۷) صدق می‌کند پس یک جواب شدنی مدل (۷) است. و چون تابع هدف مدل (۷) از نوع مینیمم‌سازی است پس یکی از دو حالت $1 < \bar{\zeta}$ یا $1 < \bar{\zeta} < 1$ رخ می‌دهد.

برای اثبات قسمت (۱)، فرض کنید L-RTS ثابت است.

پس طبق بند (۶) تعریف (۳)، عددی مانند $0 < \Delta < 1$ وجود دارد بطوریکه

$$\forall \zeta (\zeta \in [\Delta, 1] \Rightarrow (\zeta x_k, \zeta y_k) \in \partial T_v).$$

فرض کنید $\bar{\zeta} < 1$ عددی دلخواه و نزدیک به عدد یک باشد که $1 < \bar{\zeta} < 1$ پس $(\bar{\zeta} x_k, \bar{\zeta} y_k) \in \partial T_v$.

ادعا می‌کنیم که مقدار بهینه تابع هدف مدل (۱) متناظر با $(\bar{\zeta} x_k, \bar{\zeta} y_k)$ برابر صفر است زیرا در غیر اینصورت با فرض $0 < \bar{\zeta} < 1$ در تناقض است. پس برای

فاز اول مدل (۷) داریم: $0 = 0 + 1.s^{-*} + 1.s^{+*}$. از اینکه

$1 < \bar{\zeta} < 1$ و چون تابع هدف مدل (۷) از نوع مینیمم‌سازی است پس $1 < \bar{\zeta}$. بر عکس، فرض کنید $1 < \bar{\zeta}$.

چون $0 = 0 + 1.s^{-*} + 1.s^{+*}$ پس $(\bar{\zeta} x_k, \bar{\zeta} y_k) \in \partial T_v$ در T_v کارای

قوی است. و از اینکه $(x_k, y_k) \in \partial T_v$ و چون ∂T_v مقرر

برای تعیین آن پیشنهاد شده است. توجه کنید که مدل‌های (۶) و (۷) الهام بخش ارائه مدل‌های بخش بعدی برای جستجوی مسیر پایداری O-RTS شده‌اند. در انتهای بخش آتی روش‌های پیشنهادی این مقاله روی دو مثال عددی بکارگرفته شده‌اند.

برای تعیین آن قسمت‌هایی از مرز کارای قوى T_v باشند که نوع O-RTS هر یک از نقاط آنها بترتیب افزایشی، ثابت و کاهشی باشد. بنابراین $\{\partial I, \partial C, \partial D\}$ افزایشی برای مرز کارای قوى T_v می‌باشد. حالا فرض کنید DMU_k یک واحد کارای قوى T_v باشد و چهار مدل پیشنهادی زیر را در نظر بگیرید:

مدل (۸)

$$\begin{aligned} \xi_I &= \min \xi \\ \text{s.t.} \\ \sum_{j \in J_C} \lambda_j x_C^j &\leq \xi x_k \\ \sum_{j \in J_C} \lambda_j y_C^j &\geq \xi y_k \\ \sum_{j \in J_C} \lambda_j &= 1 \\ \lambda &\geq 0 \end{aligned}$$

مدل (۹)

$$\begin{aligned} \xi_C^- &= \max \xi \\ \text{s.t.} \\ \sum_{j \in J_I} \lambda_j x_I^j &\leq \xi x_k \\ \sum_{j \in J_I} \lambda_j y_I^j &\geq \xi y_k \\ \sum_{j \in J_I} \lambda_j &= 1 \\ \lambda &\geq 0 \end{aligned}$$

مدل (۱۰)

$$\begin{aligned} \xi_C^+ &= \min \xi \\ \text{s.t.} \\ \sum_{j \in J_D} \lambda_j x_D^j &\leq \xi x_k \\ \sum_{j \in J_D} \lambda_j y_D^j &\geq \xi y_k \\ \sum_{j \in J_D} \lambda_j &= 1 \\ \lambda &\geq 0 \end{aligned}$$

۴. امتداد پایداری O-RTS

در این بخش متناظر با هر واحد کارای قوى T_v ، امتداد پایداری O-RTS را تعریف کرده و روشی برای تعیین آن پیشنهاد می‌کنیم. در واقع سوالی که در این بخش می‌خواهیم به آن پاسخ دهیم این است که: «تا چه حد می‌توان واحد تحت ارزیابی را در امتداد خودش بصورت شعاعی در درون T_v منبسط یا منقبض کرد بطوريکه وضعیت بازده به مقیاس «تصویر کارای آن نقطه تغییر سایز یافته» تغییر نکند؟». البته پیش‌فرض ما این است که واحد تغییر سایز یافته، توانایی این را دارد که خود را به روی مرز کارایی قوى T_v برساند. بدین منظور ما در سرتاسر این بخش فرض کردہایم که واحد تغییر سایز یافته، خود را از طریق مدل (۲) به روی مرز کارایی قوى T_v می‌رساند.

۴-۱. مقدمات پایداری O-RTS

فرض کنید نوع L-RTS و R-RTS همه واحدهای کارای قوى در T_v مشخص شده‌باشد و مجموعه‌های A_I ، A_C و A_D بیانگر آن دسته از واحدهای کارای L-RTS قوى T_v باشند که، اعضای A_I دارای نوع O-RTS افزایشی، اعضای A_C دارای نوع ثابت و اعضای A_D دارای نوع R-RTS کاهشی باشند و قرار دهید:

$$\begin{aligned} A_I &= \left\{ \left(x_I^1, y_I^1 \right), \dots, \left(x_I^t, y_I^t \right) \right\}, \\ A_C &= \left\{ \left(x_C^1, y_C^1 \right), \dots, \left(x_C^p, y_C^p \right) \right\}, \\ A_D &= \left\{ \left(x_D^1, y_D^1 \right), \dots, \left(x_D^q, y_D^q \right) \right\} \end{aligned}$$

واضح است که مجموعه $A_I \cup A_C \cup A_D$ با مجموعه همه واحدهای کارای قوى T_v برابر است. فرض کنید T_v^D ، T_v^C و T_v^I بترتیب T_v ‌های ساخته شده با مشاهدات آمده در A_I ، A_C و A_D باشند. فرض کنید

O-RTS این واحد تعریف می‌کنیم. توجه کنید که اگر ξ یک اسکالر مشخص و ثابت از بازه $(\xi_I, 1]$ باشد و (x_k^ξ, y_k^ξ) تصویر (x_k, y_k) تحت مدل (۲) بر موز کارای قوی T_v باشد آنگاه چون $(x_k^\xi, y_k^\xi) \in \partial I$ پس O-RTS نقطه (x_k^ξ, y_k^ξ) افزایشی است.

حالت -۲ اگر O-RTS ثابت باشد آنگاه پاره خط پایداری O-RTS این واحد تعریف می‌کنیم. توجه کنید که اگر ξ یک اسکالر مشخص و ثابت از بازه $[\xi_C^-, \xi_C^+]$ باشد و (x_k^ξ, y_k^ξ) تصویر (x_k, y_k) تحت مدل (۲) بر موز کارای قوی T_v باشد آنگاه چون $(x_k^\xi, y_k^\xi) \in \partial C$ نقطه O-RTS پس (x_k^ξ, y_k^ξ) ثابت است.

حالت -۳ اگر O-RTS کاہشی باشد آنگاه پاره خط $(x_k, y_k) | \xi \in (\xi_D, 1]$ را عنوان امتداد پایداری O-RTS این واحد تعریف می‌کنیم. توجه کنید که اگر ξ یک اسکالر مشخص و ثابت از بازه $[1, \xi_D]$ باشد و (x_k^ξ, y_k^ξ) تصویر (x_k, y_k) تحت مدل (۲) بر موز کارای قوی T_v باشد آنگاه چون $(x_k^\xi, y_k^\xi) \in \partial D$ پس O-RTS نقطه (x_k^ξ, y_k^ξ) کاہشی است.

با توجه به تعریف (۴) می‌توان همه حالت‌های ممکن برای تعیین امتداد پایداری بازده به مقیاس کلی واحدهای کارای قوی T_v را در جدول (۲) زیر خلاصه کرد:

مدل (۶)

$$\begin{aligned} \xi_D &= \max \xi \\ s.t. \quad & \sum_{j \in J_C} \lambda_j x_C^j \leq \xi x_k \\ & \sum_{j \in J_C} \lambda_j y_C^j \geq \xi y_k \\ & \sum_{j \in J_C} \lambda_j = 1 \\ & \lambda \geq 0 \end{aligned}$$

که:

$$\begin{aligned} J_I &= \left\{ j \mid (x_I^j, y_I^j) \in A_I \right\}, \\ J_C &= \left\{ j \mid (x_C^j, y_C^j) \in A_C \right\}, \\ J_D &= \left\{ j \mid (x_D^j, y_D^j) \in A_D \right\} \end{aligned}$$

از مدل‌های (۸)، (۹)، (۱۰) و (۱۱) واضح است که مجموعه‌های امکان تولیدی که این مدل‌ها روی آنها تعریف شده‌اند، بترتیب همان T_v^C , T_v^D , T_v^I , T_v^C و T_v^D هستند. در واقع این مدل‌ها از همان ساختار مدل‌های (۶) و (۷) برخوردارند. از این مدل‌ها برای منقبض یا منبسط کردن سایز DMU_k به منظور جستجوی یک مسیر برای پایداری O-RTS استفاده می‌شود. در ادامه متناظر با هر واحد کارای قوی T_v , «امتداد پایداری O-RTS» تعریف شده است.

تعریف ۴. تعريف امتداد پایداری O-RTS

فرض کنید DMU_k یک واحد کارای قوی در T_v باشد که نوع O-RTS آن مشخص است در اینصورت:

حالت ۱ - اگر O-RTS افزایشی باشد آنگاه پاره خط

جدول ۲- همه حالت‌های ممکن برای تعیین امتداد پایداری کارای قوی T_v

امتداد پایداری	نوع بازده به مقیاس کلی واحد تحت ارزیابی
$\{\xi(x_k, y_k) \xi \in [1, \xi_I]\}$	افزایشی
$\{\xi(x_k, y_k) \xi \in [\xi_C^-, \xi_C^+]\}$	ثابت
$\{\xi(x_k, y_k) \xi \in (\xi_D, 1]\}$	کاہشی

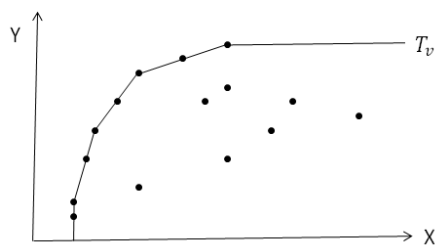
DMU، با یک ورودی و یک خروجی آمده است.

برای بررسی تعبیر شهودی مطالب بالا جدول (۳) آمده در زیر را در نظر بگیرید که در آن، اطلاعات مربوط به ۱۵ تا

جدول ۳-اطلاعات مربوط به ۱۵ تا DMU با یک ورودی و یک خروجی

DMU	۱	۲	۳	۴	۵	۶	۷	۸	۹	۱۰	۱۱	۱۲	۱۳	۱۴	۱۵
x	۵۰۰	۱۵۰	۴۵۰	۴۰۰	۳۰۰	۳۰۰	۶۰۰	۱۵۰	۵۰۰	۶۵۰	۱۸۰	۵۰۰	۲۰۰	۸۰۰	۲۵۰
y	۵۵۰	۱۵۰	۵۰۰	۶۵۰	۶۰۰	۲۰۰	۴۰۰	۱۰۰	۳۰۰	۵۰۰	۳۰۰	۷۰۰	۴۰۰	۴۵۰	۵۰۰

T_v متناظر با مشاهدات جدول (۳) در شکل زیر رسم شده است.

شکل ۱. T_v متناظر با داده‌های جدول (۳)

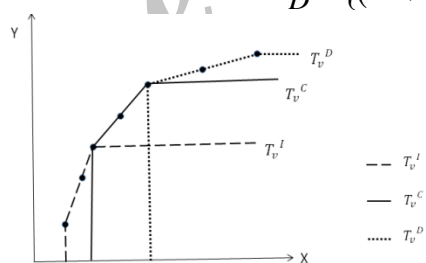
بنابراین متناظر با مشاهدات آمده در A_I , A_C و A_D نمودار T_v^D , T_v^C و T_v^I بصورت زیر است:

با توجه به شکل (۱) دیده می‌شود که:

$$A_I = \{(150, 150), (180, 300), (200, 400)\},$$

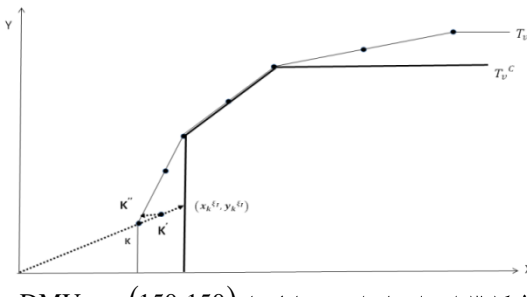
$$A_C = \{(200, 400), (250, 500), (300, 600)\},$$

$$A_D = \{(300, 600), (400, 650), (500, 700)\}$$

شکل ۲. T_v^D , T_v^C و T_v^I متناظر با داده‌های جدول (۳)

شکل زیر دیده می‌شود نقطه $K' = (\tilde{x}_k, \tilde{y}_k)$ یک نقطه از امتداد پایداری DMU_k است. از آنجائیکه $K'' = (x_k^\xi, y_k^\xi)$ تصویر K' تحت مدل (۲) بر مز کارای قوی T_v می‌باشد و چون "کارای قوی" است پس $(x_k^\xi, y_k^\xi) \in \partial I$ و لذا بازده به مقیاس (x_k^ξ, y_k^ξ) افزایشی است. بنابراین هر نقطه از امتداد پایداری DMU_k افزایشی است.

واحد کارای قوی $DMU_k = (150, 150)$ را درنظر بگیرید که با توجه به شکل (۲) دارای O-RTS افزایشی است. فرض کنید I مقدار بهینه مدل (۵) متناظر با DMU_k باشد. منظور از امتداد پایداری DMU_k نقطه (K) پاره خطی است که در شکل زیر از نقطه K شروع شده و انتهای آن نقطه $(\tilde{x}_I, \tilde{y}_I)$ است. تاکید می‌کنیم که نقطه $(\tilde{x}_I, \tilde{y}_I)$ جزء امتداد پایداری DMU_k نیست. فرض کنید \tilde{x} یک اسکالر مشخص و ثابت از به $[1, \tilde{x}_I]$ باشد. همانطور که در

شکل ۳. امتداد پایداری متناظر با $(150, 150)$

مثال ۱. داده‌های جدول (۳) را در نظر بگیرید. با استفاده از الگوریتم پیشنهاد شده در زیر بخش (۳-۳)، نوع L-RTS، R-RTS و O-RTS را بصورت زیر تعیین می‌شود. سپس نتایج بدست آمده از این روش با روش امیدی و همکاران (۲۰۱۷) مقایسه می‌شوند. در نهایت به کمک روش پیشنهاد شده در زیر بخش (۳-۴)، امتداد پایداری O-RTS متناظر با هریک از واحدهای کارای قوی T_v تعیین می‌گردد.

نتایج حل مدل‌های (۱)، (۶) و (۷) در جدول (۴) آمده‌اند. با توجه به تعریف (۱)، از ستون دوم جدول (۴) دیده می‌شود که واحدهای ۲، ۴، ۵، ۱۱، ۱۲، ۱۳ و ۱۵ کارای قوی هستند. بعد از حل مدل (۶)، از ستون سوم جدول (۴) دیده می‌شود که مقدار $1.s^{-*} + 1.s^{+*}$ متناظر با هر یک از واحدهای کارای قوی ۲، ۴، ۱۱ و ۱۲ ناصرف است. بنابراین با توجه به مقادیر $^{*}\gamma$ آمده در ستون چهارم جدول متناظر با این واحدها نتیجه می‌گیریم که:

- نوع R-RTS واحدهای ۲ و ۱۱ افزایشی و لذا نوع L-RTS و به تبع آن نوع O-RTS آنها نیز افزایشی است.

همچنین از ستون سوم جدول (۴) دیده می‌شود که مقدار $1.s^{-*} + 1.s^{+*}$ متناظر با هر یک از واحدهای کارای قوی ۵، ۱۳ و ۱۵ صفر است بنابراین با توجه به مقادیر $^{*}\gamma$ آمده در ستون چهارم و نیز با توجه به مقادیر $^{*}\gamma$ آمده در ستون ششم جدول (۴) متناظر با این واحدها نتیجه می‌گیریم که:

۴-۲. مراحل روش پیشنهادی برای تعیین امتداد پایداری O-RTS
در این قسمت بكمک مدل‌های (۱)، (۶)، (۷)، (۸)، (۹)، (۱۰) و (۱۱) و در قالب یک فرآيند چهار مرحله‌ای، روش پیشنهاد شده اين مقاله برای تعیين امتداد پایداری O-RTS متناظر با هر يك از واحدهای کارای قوی T_v ، ارائه شده است.

مراحل روش پیشنهادی

- ۱- به کمک الگوریتم (۳-۳) نوع L-RTS، R-RTS و O-RTS هر یک از واحدهای کارای قوی T_v را مشخص کنید.
- ۲- با استفاده از مرحله قبلی اعضای مجموعه‌های A_1 و A_C را شناسایی کنید.
- ۳- برای هر واحد کارای قوی T_v ، اگر نوع O-RTS آن ثابت است مدل‌های (۹) و (۱۰)، و اگر نوع O-RTS آن افزایشی یا کاهشی است بترتیب مدل‌های (۸) و (۱۱) را حل کنید.
- ۴- به کمک مقادیر $^{*}\gamma_C$ ، $^{*}\gamma_C^+$ و $^{*}\gamma_D$ بدست آمده از مرحله قبل و با استفاده از جدول (۲)، برای هر یک از واحدهای کارای قوی T_v امتداد پایداری O-RTS را بدست آورید.

۴-۳. مثال عددی برای تعیین

R-, L-RTS و امتداد پایداری O-RTS، RTS

در این قسمت، روش‌های پیشنهاد شده این مقاله برای تعیین O-RTS، R-RTS، L-RTS و امتداد پایداری O-RTS روی دو مثال عددی بکار گرفته شده‌اند.

- نوع R-RTS و L-RTS واحد ۱۵ بترتیب ثابت و ثابت است و لذا نوع O-RTS آن نیز ثابت است. نتایج نهایی الگوریتم پیشنهادی زیر بخش (۳-۳)، برای تعیین نوع R-RTS، L-RTS و O-RTS را می‌توانید در ستون‌های هفتم، هشتم و نهم جدول (۴) بینید.
- نوع R-RTS و L-RTS واحد ۵ بترتیب کاهشی و ثابت است و لذا نوع O-RTS آن نیز ثابت است.
- نوع R-RTS و L-RTS واحد ۱۳ بترتیب ثابت و افزایشی است و لذا نوع O-RTS آن نیز ثابت است.

جدول ۴- تعیین نوع O-RTS، R-RTS، L-RTS با اجرای الگوریتم (۳-۳) به کمک حل مدل‌های (۱)، (۶) و (۷) برای داده‌های جدول (۴)

DMU	نتایج مدل (۱)		نتایج مدل (۶)		نتایج مدل (۷)		نتایج روش پیشنهادی		
	$1.s^{-*} + 1.s^{+*}$	$1.s^{-*} + 1.s^{+*}$	γ^*	$1.s^{-*} + 1.s^{+*}$	γ^*	L-RTS	R-RTS	O-RTS	
1	250	270	0/6	270	0/6	-	-	-	-
2	0	300	4	300	2	افزایشی	افزایشی	افزایشی	
3	250	266/6	0/66	266/6	0/6	-	-	-	-
4	0	112/5	0/75	112/5	0/75	کاهشی	کاهشی	کاهشی	
5	0	0	1	0	0/6	ثابت	کاهشی	کاهشی	ثابت
6	400	600	3	600	3	-	-	-	-
7	500	600	1/5	600	1/5	-	-	-	-
8	50	600	6	600	6	-	-	-	-
9	500	700	2	700	2	-	-	-	-
10	450	480	1/2	480	1/2	-	-	-	-
11	0	100	1/66	100	1/6	افزایشی	افزایشی	افزایشی	
12	0	180	0/6	180	0/6	کاهشی	کاهشی	کاهشی	
13	0	0	1/5	0	1	ثابت	افزایشی	افزایشی	ثابت
14	650	766/6	1/33	766/6	1/33	-	-	-	
15	0	0	1/2	0	0/8	ثابت	ثابت	ثابت	ثابت

که واحدهای مرزی ۲، ۸ و ۱۱ دارای R-RTS افزایشی، واحدهای مرزی ۱۵ و ۱۳ دارای R-RTS ثابت و واحدهای مرزی ۴، ۵ و ۱۲ دارای R-RTS کاهشی R-RTS و L-RTS هستند. بنابراین با مشخص شدن نوع R-RTS واحد را با توجه به جدول (۱) می‌توان نوع O-RTS واحد را با توجه به جدول (۴) در ستون ششم جدول (۵) نوع O-RTS واحد را با توجه به جدول (۷) می‌توان ششم جدول (۴) با ستون چهارم جدول (۵) دیده می‌شود که نتایج روش پیشنهادی این مقاله در تشخیص نوع L-RTS، برای هریک از واحدهای کارای قوی T_v ، بر نتایج روش امیدی و همکاران (۲۰۱۷) از مقایسه ستون هفتم جدول (۴) با ستون چهارم جدول (۵) دیده می‌شود که نتایج روش پیشنهادی این مقاله در همراه بندهای چهارم تا ششم قضیه (۳) نتیجه می‌شود

نتایج حل مدل‌های (۳) و (۴) با در نظر گرفتن $\epsilon = 0/001$ بترتیب در ستون‌های دوم و سوم جدول (۵) آمده‌اند. با توجه به مقادیر θ^* و φ^* آمده در ستون‌های دوم و سوم جدول (۵) و با بکارگیری قضیه (۲) نتیجه می‌شود که واحدهای ۲، ۴، ۵، ۸، ۱۱، ۱۲، ۱۳ و ۱۵ واحدهای مرزی T_v هستند. با توجه به مقادیر θ^* آمده در ستون دوم جدول (۵)، و با بکارگیری سه بند اول قضیه (۳) نتیجه می‌شود که واحدهای مرزی ۲، ۸، ۱۱ و ۱۳ دارای L-RTS افزایشی، واحدهای مرزی ۵ و ۱۵ دارای L-RTS ثابت، و واحدهای مرزی ۴ و ۱۲ دارای L-RTS کاهشی Hستند. از مقادیر φ^* آمده در ستون سوم جدول (۵)، به همراه بندهای چهارم تا ششم قضیه (۳) نتیجه می‌شود

قوی T_v ، تشخیص روش پیشنهادی و روش امیدی و همکاران (۲۰۱۷) در تعیین نوع O-RTS و R-RTS و L-RTS یکسان است.

منطبق است. همچنین از مقایسه ستون‌های هشتم و نهم جدول (۴) برتری با ستون‌های پنجم و ششم جدول (۵) دیده می‌شود که، متناظر با هر یک از واحدهای کارای

جدول ۵- تعیین نوع O-RTS، R-RTS، L-RTS با اجرای روش امیدی و همکاران (۲۰۱۷)

DMU	نتایج مدل (۳)		نتایج مدل (۴)			نتایج روش امیدی و همکاران (۲۰۱۷)		
	θ^*	φ^*	L-RTS	R-RTS	O-RTS			
1	0/55	1/27	-	-	-			
2	1/001	1/004	افزایشی	افزایشی	افزایشی			
3	0/555	1/34	-	-	-			
4	0/997	0/999	کاهشی	کاهشی	کاهشی			
5	1	0/999	ثابت	کاهشی	ثابت			
6	0/533	2/997	-	-	-			
7	0/333	1/748	-	-	-			
8	1/001	1/5	افزایشی	افزایشی	افزایشی			
9	0/36	2/331	-	-	-			
10	0/384	1/398	-	-	-			
11	1/0006	1/002	افزایشی	افزایشی	افزایشی			
12	0/998	0/999	کاهشی	کاهشی	کاهشی			
13	1/0006	1	افزایشی	ثابت	ثابت			
14	0/281	1/55	-	-	-			
15	1	1	ثابت	ثابت	ثابت			

اجرای مرحله ۱. با توجه به ستون‌های هفتم و هشتم جدول (۴) مشخص شد. نتایج اینکار را در ستون‌های هفتم، هشتم و نهم جدول (۴) بیینید.

اجرای مرحله ۲. با توجه به ستون‌های هفتم و هشتم جدول (۴) داریم:

$$A_I = \{2, 11, 13\}, \quad A_C = \{5, 13, 15\}, \quad A_D = \{4, 5, 12\}$$

اجرای مراحل ۳ و ۴.

- چون نوع O-RTS واحدهای ۲ و ۱۱ افزایشی است؛ به کمک مدل (۸) متناظر با هر یک از این واحدها، مقدار آن و به تبع آن امتداد پایداری O-RTS را بدست آورده‌ایم. نتایج اینکار را در جدول (۶) بیینید.

- چون نوع O-RTS واحدهای ۵، ۱۳ و ۱۵ ثابت است؛ به کمک مدل‌های (۹) و (۱۰) متناظر با هر یک از این واحدها، مقادیر \bar{C}^- و \bar{C}^+ و به تبع آن امتداد

بنابراین این شیوه پیشنهادی، روش دیگری را برای طبقه‌بندی O-RTS، R-RTS، L-RTS واحدهای کارای قوی T_v در دسترس قرار می‌دهد. مزیت روش پیشنهادی این مقاله بر روش امیدی و همکاران (۲۰۱۷)، غیر پارامتریک بودن آن است. عبارت دیگر نقطه قوت روش پیشنهادی، خطی بودن مدل‌های آن است و اهمیت این موضوع وقتی بیشتر می‌شود که دیگر روش‌های طبقه‌بندی R-RTS، L-RTS نظیر روش‌های گلانی و یو (۱۹۹۷)، اسلامی و خوئینی (۲۰۱۳)، الهیار و رستمی (۲۰۱۴) و امیدی و همکاران (۲۰۱۷) را می‌توان به دلیل پارامتریک بودن مدل‌های این روش‌ها غیر خطی دسته بندی کرد.

در ادامه با اجرای مراحل فرآیند ارائه شده در زیر بخش (۲-۴)، امتداد پایداری O-RTS متناظر با هریک از واحدهای کارای قوی T_v تعیین می‌گردد.

اجرای مرحله ۱. بعداز اینکه الگوریتم پیشنهادی زیر بخش (۳-۳) را روی داده‌های جدول (۳) اجرا کردیم، نوع

- به کمک مدل (۱۱) متناظر با هر یک از این واحدها، پایداری O-RTS را بدست آورده‌ایم. نتایج اینکار را در جدول (۷) ببینید.
- مقدار D ی و به تبع آن امتداد پایداری O-RTS را بدست آورده‌ایم. نتایج اینکار را در جدول (۶) ببینید.
- چون نوع O-RTS واحدهای ۴ و ۱۲ کاهشی است؛

جدول ۶- تعیین امتداد پایداری واحدهای کارای قوی جدول (۴) که O-RTS آنها افزایشی است

DMU	نتایج مدل (۸)		امتداد پایداری O-RTS
	ξ_1^-	ξ_1^+	
$DMU_2 = (150, 150)$	1/33		$\left\{ \xi(x_2, y_2) \xi \in [1, 1/33] \right\}$
$DMU_{11} = (180, 300)$	1/11		$\left\{ \xi(x_{11}, y_{11}) \xi \in [1, 1/11] \right\}$

جدول ۷- تعیین امتداد پایداری واحدهای کارای قوی جدول (۴) که O-RTS آنها ثابت است

DMU	نتایج مدل (۹)		امتداد پایداری O-RTS
	ξ_C^-	ξ_C^+	
$DMU_5 = (300, 600)$	0/667	1	$\left\{ \xi(x_5, y_5) \xi \in [0/667, 1] \right\}$
$DMU_{13} = (200, 400)$	1	1/25	$\left\{ \xi(x_{13}, y_{13}) \xi \in [1, 1/25] \right\}$
$DMU_{15} = (250, 500)$	0/8	1/2	$\left\{ \xi(x_{15}, y_{15}) \xi \in [0/8, 1/2] \right\}$

جدول ۸- تعیین امتداد پایداری واحدهای کارای قوی جدول (۴) که O-RTS آنها کاهشی است

DMU	نتایج مدل (۱۱)		امتداد پایداری O-RTS
	ξ_D^-	ξ_D^+	
$DMU_4 = (400, 650)$	0/923		$\left\{ \xi(x_4, y_4) \xi \in (0/923, 1] \right\}$
$DMU_{12} = (500, 700)$	0/857		$\left\{ \xi(x_{12}, y_{12}) \xi \in (0/857, 1] \right\}$

این مساله، سه شاخص «مقدار سرمایه اولیه»، «هزینه‌های کارکنان» و «هزینه‌های دانش فنی» شاخص‌های ورودی، و دو شاخص «درآمد خالص» و «صرفه جویی در اقتصاد» شاخص‌های خروجی این DMU ها هستند. شاخص‌های ورودی با x_1 , x_2 و x_3 و شاخص‌های خروجی با y_1 و y_2 نمایش داده شده‌اند.

مثال ۲. جدول (۹) دادهای آماری مربوط به ۱۳ موسسه توسعه فناوری ایران در سال ۲۰۱۳ را نشان می‌دهد. این دادهای آماری بیانگر سنجش پنج شاخص برای هر یک از این موسسات است. هدف ارزیابی R-, L-RTS، O-RTS و امتداد پایداری O-RTS متناظر با واحدهای کارای قوی این موسسات است. این ۱۳ موسسه، بعنوان ۱۳ تا DMU در نظر گرفته شده‌اند. با توجه به ویژگی‌های شاخص‌های آماری مورد مطالعه در

جدول ۹- اطلاعات مربوط به ۱۳ موسسه توسعه فناوری ایران با سه شاخص ورودی و دو شاخص خروجی

DMU	صرفه جویی در اقتصاد	درآمد خالص	هزینه‌های کارکنان	هزینه‌های دانش فنی	مقدار سرمایه اولیه
	x_1	x_2	x_3	y_1	y_2
۱	۲۰۹۹۰۵	۳۴۴۱	۲۱۹۶۲	۱۴۵۲۵۲	۲۷/۴
۲	۲۷۵۶۸	۱۷۳۸	۳۷۲	۸۶۸۹۹	۲۰/۳
۳	۷۷۴۴۱	۴۷۶۳	۱۲۳۷۸	۳۰۵۲۲۶	۳۱/۳
۴	۱۳۱۴۸۷	۵۸۶۵	۲۹۷۵۶	۴۷۱۳۷۲	۲۶/۴
۵	۲۳۶۰۶	۳۷۳۵	۷۳۷۱	۹۸۵۷۸۰	۳۴/۹۹
۶	۵۷۶۳۳۰	۵۴۳۸	۲۳۶۷	۶۷۰۴۳۱	۲۳/۴
۷	۶۱۲۲۳۷۵	۲۳۶۵۳	۲۶۷۳۱	۲۴۷۳۳۵۷	۳۲/۷
۸	۳۲۶۷۷۵	۱۲۳۵۴	۸۹۷۶	۴۵۸۴۰۰	۲۶/۵
۹	۲۹۰۸۷۶	۳۹۸	۳۷۶	۷۸۹۴۳	۲۱/۳
۱۰	۲۰۱۴۳۵	۴۵۶۷	۴۳۸۷	۶۷۴۵۵	۳۰/۲
۱۱	۵۴۶۹۰	۴۵۷۰	۶۷۹۴	۸۷۳۸۷	۲۷/۶
۱۲	۴۶۸۰۹	۳۶۵۵	۷۶۸۸	۹۶۷۰۸	۲۸/۲
۱۳	۸۱۵۴۶۷۸	۵۶۷۲۳	۸۵۶۰۹	۳۴۵۰۸۷۱	۳۶/۷

۵- با توجه به ستون‌های هفتم و هشتم جدول (۱۰) داریم:

$$A_I = \{2, 5, 6, 9\}, \quad A_C = \{2, 5, 6, 9\}, \\ A_D = \{2, 5, 6, 7, 9, 10, 11\}$$

۶- چون واحدی با O-RTS افزایشی وجود ندارد پس نیازی به حل مدل (۸) نیست.

۷- چون نوع O-RTS واحدهای ۲، ۵، ۶ و ۹ ثابت است؛ به کمک مدل‌های (۹) و (۱۰) متناظر با هر یک از این واحدهای، مقادیر γ_C^- و γ_C^+ و به تبع آن امتداد پایداری O-RTS را بدست آورده‌ایم. نتایج اینکار را در جدول (۱۱) بینید.

۸- چون نوع O-RTS واحدهای ۷، ۱۰ و ۹ کاهشی است؛ به کمک مدل (۱۱) متناظر با هر یک از این واحدهای، مقدار D و به تبع آن امتداد پایداری O-RTS را بدست آورده‌ایم. نتایج اینکار را در جدول (۱۲) بینید.

در ادامه مشابه آنچه در توضیحات مثال (۱) گفته شد، دو روش پیشنهاد شده در زیر بخش‌های (۳-۳) و (۲-۴)، روی داده‌های جدول (۹) اجرا می‌شوند. بدین منظور مراحل زیر انجام می‌شود:

۱- مجموعه‌ی T_v بعنوان مجموعه‌ی امکان تولید این مشاهدات در نظر گرفته شده است.

۲- متناظر با هریک از DMU‌ها و به منظور شناسایی واحدهای کارای قوی T_v ، مدل (۱) حل شده و مقادیر بهینه این مدل در ستون دوم جدول (۱۰) آمده است. با توجه به این ستون و با توجه به تعریف (۱) واحدهای ۲، ۵، ۶، ۹، ۱۰ و ۱۳ واحدهای کارای قوی T_v هستند.

۳- متناظر با هریک از واحدهای مدل‌های دو فازی (۶) و (۷) حل شده‌اند و نتایج حاصل از آنها در ستون‌های سوم تا ششم جدول (۱۰) آمده‌اند.

۴- نوع O-RTS، R-RTS و L-RTS متناظر با هریک از واحدهای کارای قوی T_v را می‌توانید در ستون‌های هفتم، هشتم و نهم جدول (۱۰) بینید.

جدول ۱۰ - تعیین نوع O-RTS، R-RTS، L-RTS با اجرای الگوریتم (۳-۳) به کمک حل مدل‌های (۱)، (۶) و (۷)
برای داده‌های جدول (۹)

DMU	نتایج مدل (۱)		نتایج مدل (۶)		نتایج مدل (۷)		نتایج روش پیشنهادی		
	$1.s^{-*} + 1.s^{+*}$	ξ^*	$1.s^{-*} + 1.s^{+*}$	ξ^*	$1.s^{-*} + 1.s^{+*}$	ξ^*	L-RTS	R-RTS	O-RTS
۱	۳۹۸۳۰۰	۱/۲۸	۱۰۶۰۷۰	۱/۲۸	۱۰۶۰۷۰	۱/۲۸	-	-	-
۲	+	۱	۰	۰	۰	۱	افزایشی	کاهشی	ثابت
۳	۷۴۰۴۲۸	۰/۷۸	۷۸۵۸۹۸	۰/۷۸	۷۸۵۸۹۸	۰/۷۸	-	-	-
۴	۶۴۶۸۱۳	۰/۶۴	۷۵۷۳۲۲	۰/۶۴	۷۵۷۳۲۲	۰/۶۴	-	-	-
۵	۰	۱	۰	۰	۰	۱	افزایشی	کاهشی	ثابت
۶	۰	۱	۰	۰	۰	۱	افزایشی	کاهشی	ثابت
۷	۰	۰/۴۰	۲۴۲۵۹۲۰	۰/۴۰	۲۴۲۵۹۲۰	۰/۴۰	کاهشی	کاهشی	کاهشی
۸	۸۴۰۷۸۲	۰/۸۲	۸۶۰۵۰۸	۰/۸۲	۸۶۰۵۰۸	۰/۸۲	-	-	-
۹	۰	۱	۰	۰	۰	۱	افزایشی	کاهشی	ثابت
۱۰	۰	۰/۹۳	۶۶۳۵۷۰	۰/۹۳	۶۶۳۵۷۰	۰/۹۳	کاهشی	کاهشی	کاهشی
۱۱	۸۵۶۰۵۲	۱/۰۸	۹۲۷۹۲۸	۱/۰۸	۹۲۷۹۲۸	۱/۰۸	-	-	-
۱۲	۸۵۴۵۳۷	۱/۰۲	۹۱۱۶۷۴	۱/۰۲	۹۱۱۶۷۴	۱/۰۲	-	-	-
۱۳	۰	۰/۲۸	۲۳۳۵۴۴۶	۰/۲۸	۲۳۳۵۴۴۶	۰/۲۸	کاهشی	کاهشی	کاهشی

جدول ۱۱ - تعیین امتداد پایداری واحدهای کارای قوی جدول (۹) که آنها ثابت است

DMU	نتایج مدل (۹)		امتداد پایداری O-RTS
	ξ_C^-	ξ_C^+	
DMU ₂	1	1	$\{(x_2, y_2)\}$
DMU ₅	1	1	$\{(x_5, y_5)\}$
DMU ₆	1	1	$\{(x_6, y_6)\}$
DMU ₉	1	1	$\{(x_9, y_9)\}$

امتداد پایداری هر یک از این واحدها فقط یک نقطه است.

با توجه به جدول (۱۱) دیده می‌شود که برای هر یک از واحدهای ۲، ۵، ۶ و ۹ داریم: $\xi_C^+ = \xi_C^- = 1$ بنابراین

جدول ۱۲ - تعیین امتداد پایداری واحدهای کارای قوی جدول (۹) که آنها کاهشی است

DMU	نتایج مدل (۱۱)		امتداد پایداری O-RTS
	ξ_D		
DMU ₇	0/0679		$\{\xi(x_7, y_7) \xi \in (0/0679, 1]\}$
DMU ₁₀	0/3358		$\{\xi(x_{10}, y_{10}) \xi \in (0/3358, 1]\}$
DMU ₁₃	0/0208		$\{\xi(x_{13}, y_{13}) \xi \in (0/0208, 1]\}$

هستند و به راحتی توسط کدهای موجود در DEA مورد استفاده قرار می‌گیرند. در تمامی روش‌های پیشنهادی این مقاله، ارزیابی‌ها به کمک مقادیر بهینه تابع هدف مدل‌های پیشنهادی صورت گرفته‌اند و چون این مقادیر بهینه منحصر بفرد هستند پس این ارزیابی‌ها، دچار چندگانگی در قضاوت نمی‌شوند.

عنوان یک موضوع تحقیقاتی در آینده، شاید بتوان با مبنا قراردادن رویکرد این مقاله، و با بکارگیری مدل‌های RTS جمعی، روشی برای تحلیل پایداری مولفه‌ای انواع ارائه کرد. برای توسعه‌ی نگرش این مقاله، توصیه می‌شود که روش تعیین پایداری O-RTS ارائه شده در این پژوهش، برای ارزیابی دیگر داده‌ها نظیر داده‌های بازه‌ای، منفی و فازی بکار گرفته شوند.

بمنظور تحلیل پایداری O-RTS یکی از واحدهای کارای قوی T_7 ، مثلاً DMU_{10} ، امتداد پایداری متناظر با این DMU یعنی $\left(\begin{matrix} x_{10}, y_{10} \\ 0/3358, 1 \end{matrix} \right)$ را

در نظر می‌گیریم. فرض کنید \tilde{x}_{10} یک مقدار دلخوا از بازه $[0/3358, 1]$ باشد. مثلاً فرض کنید $\tilde{x}_{10} = 0/64$

در اینصورت چون DMU_{10} دارای O-RTS کاهاشی -

است پس طبق ادعای آمده در حالت (۳) از تعریف (۴)،
باایستی تصویر $\left(\begin{matrix} x_{10}, y_{10} \\ \tilde{x}_{10}, \tilde{y}_{10} \end{matrix} \right)$ تحت مدل (۲) یعنی

$\left(\begin{matrix} x_{10}, y_{10} \\ \tilde{x}_{10}, \tilde{y}_{10} \end{matrix} \right)$ ، نیز نقطه‌ای با O-RTS کاهاشی باشد.

برای بررسی این مطلب ابتدا مدل (۲) متناظر با

$\left(\begin{matrix} x_{10}, y_{10} \\ \tilde{x}_{10}, \tilde{y}_{10} \end{matrix} \right)$ را حل می‌کنیم و داریم:

$$\left(\begin{matrix} x_{10}, y_{10} \\ \tilde{x}_{10}, \tilde{y}_{10} \end{matrix} \right) =$$

$$(67658/5, 1533/976, 888/7609, 85687/7, 20/45226)$$

سپس برای ارزیابی O-RTS نقطه $\left(\begin{matrix} x_{10}, y_{10} \\ \tilde{x}_{10}, \tilde{y}_{10} \end{matrix} \right)$ داریم:

مدل (۵) متناظر با $\left(\begin{matrix} x_{10}, y_{10} \\ \tilde{x}_{10}, \tilde{y}_{10} \end{matrix} \right)$ را حل می‌کنیم و

بنابراین طبق بند (۲) قضیه (۴)، نقطه‌ی $\left(\begin{matrix} x_{10}, y_{10} \\ \tilde{x}_{10}, \tilde{y}_{10} \end{matrix} \right)$ داریم: $0/0639 = 0/0639^{**} + 1.s^{**} = 0/0639^{**}$ و $1.s^{**} = 0/98^{**}$.

بنابراین طبق بند (۲) قضیه (۴)، نقطه‌ی $\left(\begin{matrix} x_{10}, y_{10} \\ \tilde{x}_{10}, \tilde{y}_{10} \end{matrix} \right)$ را حل می‌کنیم و

نیز نقطه‌ای با O-RTS کاهاشی است و این صحت

ادعای آمده در حالت (۳) از تعریف (۴) را برای

$\left(\begin{matrix} x_{10}, y_{10} \\ \tilde{x}_{10}, \tilde{y}_{10} \end{matrix} \right)$ نشان می‌دهد.

نتیجه‌گیری

در این مقاله ابتدا یک روش برای تعیین R- و L-RTS

RTS پیشنهاد شده که مدل‌های آن برخلاف مدل‌های

آمده در تاریخچه موضوع، غیر پارامتریک هستند. سپس

با تقسیم بندی مرز مجموعه امکان تولید T_7 ، شرایطی

فراهرم آمده که در آن بتوان به تعریف امتداد پایداری انواع

RTS واحدهای کارای قوی T_7 پرداخت. در ادامه با

ایجاد تغییراتی در مدل‌های روش پیشنهادی، روشی برای

تعیین امتداد پایداری انواع O-RTS در دسترس قرار

گرفته است. روش‌های پیشنهاد شده‌ی این متن روی دو

مثال عددی اجرا و تحلیل شده‌اند. مدل‌های روش‌های

پیشنهادی این نوشه همگی مدل‌های برنامه‌ریزی خطی

- [8] Charnes, W.W. Cooper, B. Golany, L. Seiford, J. Stutz, Foundations of data envelopment analysis for pareto-koopmans efficient empirical production functions, *J. Econom.* 30 (1985) 91–107.
- [9] Eslami, R., Khoveyni, M., 2013. Right and Left returns to scales in data analysis, Determining type and measuring value, *Computers & Industrial Engineering*, 15, 500–501.
- [10] Fare, R., Grosskopf, S., Lovell, C.A.K., 1994. *Production Frontiers*. Cambridge University Press.
- Golany, B., Yu, G., 1997. Estimating Returns to Scale in DEA, *European Journal of Operational Research*, 103, 28–37.
- [11] Hadjicostas, P., Soteriou, A. C. 2006. One-sided elasticities and technical efficiency in multi-output production: a theoretical framework, *European Journal of Operational Research*, 168 (2), 425–449.
- [12] Khodabakhshi, M., Gholami, Y., Kheirollahi, H., 2010. An additive model approach for estimating returns to scale in imprecise data envelopment analysis, *Applied Mathematical Modelling*, 34, 1247–1257.
- [13] Omidi, M., Rostamy-Malkhalifeh, M., Payan, A., Hosseinzadeh Lotfi, F., 2017.
- [14] Estimation of Overall Returns to Scale (RTS) of a Frontier Unit Using the Left and Right RTS, *Computational Economics*, <https://doi.org/10.1007/s10614-017-9756-7>.
- [1] جهانشاهلو، غلامرضا؛ حسینزاده لطفی، فرهاد؛ نیکومرام، هاشم؛ ۱۳۸۷. "تحلیل پوششی داده‌ها و کاربردهای آن". تهران: انتشارات دانشگاه آزاد اسلامی، واحد علوم تحقیقات.
- [2] Allahyar, M., Rostamy-Malkhalifeh, M., 2014. An improved approach for estimating returns to scale in DEA, *Bulletin of the Malaysian Mathematical Sciences Society*, 2, 37(4), 1185–1194.
- [3] Banker, R. D., 1984. Estimating most productive scale size using data envelopment analysis, *European Journal of Operation Research*, 17 35–44.
- [4] Banker, R. D., Charnes, A., Cooper, W.W., 1984. Some models for estimating technical and scale inefficiencies in data envelopment analysis, *Management Science* 30, 1078–1092.
- [5] Banker, R. D., Thrall, R. M., 1992. Estimation of Returns to Scale Using Data Envelopment Analysis, *European Journal of Operational Research*, 62, 74–84.
- [6] Banker, R. D., Chang, H., Cooper, W. W., 1996. Equivalence and implementation of alternative methods for determining returns to scale in data envelopment analysis, *European Journal of Operational Research*, 89, 473–81.
- [7] Charnes, A., Cooper, W. W., Rhodes, E., 1978. Measuring the efficiency of decision making units, *European Journal of Operation Research*, 2, 429–444.

[15] Seiford, L.M., Zhu, J., 1999. An investigation of returns to scale in data envelopment analysis, *Omega*.

[16] Tone, K., Sahoo, B.K., 2004. Degree of scale economies and congestion: A unified DEA approach, *European Journal of Operational Research*, 158, 755–772.

[17] Zhu, Joe., Shen. Shen, Z., 1995. A Discussion of Testing DMUs' Returns to Scale, *European Journal of Operational Research*, 81, 590–596.